

بررسی تاثیر مقدار فلور آپاتیت بر روی خواص و رفتار *In vitro* نانوکامپوزیت‌های فلور-هیدروکسی آپاتیت تهیه شده به روش سل-ژل

بابک فرسادزاده^{۱*}، علی اصغر بهنام قادر^۲ و مرتضی دلیری^۳

- ۱- دانشکده مهندسی پزشکی دانشگاه آزاد اسلامی واحد علوم و تحقیقات
- ۲- پژوهشکده سرامیک، پژوهشگاه مواد و انرژی
- ۳- پژوهشگاه ملی مهندسی زنتیک و زیستفناوری

تاریخ ثبت اولیه: ۱۳۸۷/۱۲/۱۲، تاریخ دریافت نسخه اصلاح شده: ۱۳۸۸/۰۴/۳۱، تاریخ پذیرش قطعی: ۱۳۸۸/۰۴/۱۵

چکیده

پودرهای هیدروکسی آپاتیت (HA)، فلور-هیدروکسی آپاتیت (FHA) و فلور آپاتیت (FA) در ابعاد نانومتری با روش سل-ژل سنتز شدند. تغییرات ساختاری، مورفوЛОژی پودر، آنالیز فازی و همچنین رفتار *In vitro* پودرها مورد ارزیابی قرار گرفت. بر اساس نتایج XRD و SAED، با افزایش درصد فاز FA، درجه بلورینگی و اندازه بلورکها افزایش یافت. آزمایش FT-IR نشان دهنده جانشین شدن F⁻ با OH⁻ و تشکیل FHA یا FA خالص است. مطالعات SEM و زتسایزر بیانگر آن است که با افزایش میزان فلور، تمایل به آگلومره شدن پودر بیشتر شده است. مشاهدات مستقیم TEM نشان داده که اندازه بلورکها در محدوده ۲۰ تا ۵۰ نانومتر می‌باشد. در نمونه‌های FA، نسبت به HA تعداد سلول‌ها در آزمایش کشت سلول‌های فیبروبلاست افزایش یافته است. این امر بیانگر اثر مثبت افزودن فلور بر زیست‌سازگاری پودر FHA می‌باشد.

واژه‌های کلیدی: هیدروکسی آپاتیت، فلور-هیدروکسی آپاتیت، فلور آپاتیت، نانوکامپوزیت، سل-ژل.

بنابراین، تحریک زیست‌فعالی، رشد استخوان و اثرات درمانی را می‌توان به این شباهت نسبت داد [۳]، ولی با توجه به خواص مکانیکی ضعیف بدن‌های HA، این ماده فقط در محل‌هایی استفاده می‌شود که متحمل نیرو نباشد. جذب و تجزیه HA ممکن است بر روی عمر و قابلیت

۱- مقدمه

ترکیبات کلسیم‌فسفاتی از جمله هیدروکسی آپاتیت (HA, Ca₁₀(PO₄)₆(OH)₂)، به دلیل شباهت با بافت سخت بدن انسان، به طور گسترده‌ای به عنوان کاشتنی و مواد ترمیم‌کننده در استخوان و دندان کاربرد دارند [۱,۲].

* عهده‌دار مکاتبات: بابک فرسادزاده

نشانی: تهران، دانشکده مهندسی پزشکی، دانشگاه آزاد اسلامی واحد علوم و تحقیقات
تلفن: ۰۲۱-۴۴۴۷۴۳۲۱-۰۲۱، دورنگار: ۰۹-۴۴۴۷۴۳۱۹، پست الکترونیکی: farsadzadeh@sr.iau.ac.ir

محلول حاوی کلسیم به صورت قطره قطره به محلول حاوی فسفر اضافه گردید ($\text{Ca}/\text{P} = 1.67$) و سل حاصل به مدت ۷۲ ساعت در دمای محیط و ۳۴ ساعت در دمای 40°C درجه سانتیگراد پیرسازی شد. پس از خشک کردن نمونه ها در دمای 80°C درجه سانتیگراد، عملیات حرارتی نمونه ها به مدت یک ساعت در دمای 550°C درجه سانتیگراد در هوا انجام شد. مشخصات نمونه های تهیه شده در این تحقیق در جدول ۱ ارائه شده است.

جدول ۱: نمونه پودرهای سنتز شده بر حسب نسبت فلوئور به فسفر.

ترکیب	نسبت فلوئور به فسفر (F/P)	نمونه
100% HA	.	HA
75%HA,25%FA	۱/۱۲	HA-25FA
50%HA,50%FA	۱/۶	HA-50FA
25%HA,75%FA	۱/۴	HA-75FA
100% FA	۱/۳	FA

نمونه های FA و HA-75FA، HA-50FA، HA-25FA با اتحاد پیش ماده آمونیوم فلوراید (NH_4F ; Merck) در اتانول بر اساس نسبت استوکیومتری فلوئور به فسفر (F/P) تهیه شدند. نسبت F:P در این نمونه ها به ترتیب $1:12$ ، $1:6$ ، $1:4$ و $1:3$ در نظر گرفته شد. شکل ۱ مراحل تهیه پودر را نشان می دهد.

تغییرات ساختاری پودرهای HA، FA و FHA با استفاده از آنالیز طیفسنجی مادون قرمز (FT-IR, Bruker, Vector, German) و در محدوده طیف $500 - 4000 \text{ cm}^{-1}$ بررسی شدند.

تغییرات فازی پودرها نیز با استفاده از آنالیز پراش اشعه ایکس (XRD, Siemens, D500, German) مورد ارزیابی قرار گرفتند و از طول موج اشعه ایکس $\text{CuK}\alpha$ برابر با $1/540.56 \text{\AA}$ با سرعت زاویه ای دو درجه سانتیگراد بر دقیقه استفاده گردید.

درجه بلوری پودر (X_{c}) نیز بر اساس نتایج XRD و با استفاده از فرمول ۱ به دست آمد [۱۸]:

$$X_{\text{c}} = 1 - (\text{V}_{112/300}/\text{I}_{300}) \quad (1)$$

اطمینان مواد کاشتنی تاثیر بگذارد و در نهایت منجر به شکست آن ها شود [۳].

زمانی که یون فلوئور وارد ساختار هیدروکسی آپاتیت می شود، با OH^- با جانشینی F^- ترکیباتی نظیر فلوئور هیدروکسی آپاتیت ($\text{FHA}, \text{Ca}_{10}(\text{PO}_4)_6(\text{OH}, \text{F})$) و فلوئور آپاتیت ($\text{FA}, \text{Ca}_{10}(\text{PO}_4)_6(\text{F})_2$) بدست می آید. یون F^- فرآیند کانی شدن و بلوری شدن کلسیم فسفات را در فرآیند تشکیل استخوان تشویق نموده [۴، ۵] و پایداری شیمیایی آن را افزایش می دهد [۶].

با وجود مزایای زیاد FA و FHA، تحقیقات کمی در مورد بررسی ویژگی های ساختاری، فازی و زیست سازگاری آن ها صورت گرفته است [۷-۱۰]. بیشتر تحقیقات بر روی امکان تهیه پودرهای FA با روش های رسوبی و یا فیلم های FA با روش های اسپری حرارتی انجام شده است [۱۱-۱۳].

سنتز پودر HA در سال های اخیر با روش های مختلفی چون هیدروترمال، همرسوبی، سل- ژل و ... انجام شده است [۱۴-۱۷]. در بین این روش ها، سل- ژل از مزایای زیادی چون خلوص زیاد، ترکیب همگن، اندازه ذرات کوچکتر محصول و دمای سنتز کم نسبت به روش های دیگر برخوردار است.

در این تحقیق پودرهای HA، FA و FHA به روش سل- ژل و با بکار گیری مقادیر متفاوت فلوئور تهیه و تغییرات ساختاری، مورفولوژی پودر، تغییرات شیمیایی و آنالیز فازی و همچنین رفتار *In vitro* پودر توسط طیفسنجی مادون قرمز (FT-IR)، میکروسکوپ الکترونی روبشی (SEM)، میکروسکوپ الکترونی عبوری (TEM)، آنالیز پراش اشعه ایکس (XRD)، دستگاه زتابایزر و آزمایش کشت سلولی مورد بررسی قرار گرفت.

۲- فعالیت های تجربی

جهت تهیه پودر HA ابتدا تری اتیل فسفیت (TEP, $(\text{C}_2\text{H}_5\text{O})_3\text{P}$; Merck) در اتانول و مقدار کمی آب مقطر هیدرولیز شد. در ظرف جداگانه ای نیز نیترات کلسیم آبدار ($\text{Ca}(\text{NO}_3)_2 \cdot 4\text{H}_2\text{O}$; Merck) در اتانول حل و سپس محلول های حاصل با سرعت ۱۰۰۰ دور بر دقیقه و به مدت ۲۴ ساعت هم زده شدند.

جهت بررسی ریزاساختار و مورفولوژی پودرهای سنتزشده از میکروسکوپ الکترونی عبوری و میکروسکوپ الکترونی روشنی (SEM, XL30, Philips, Holland) استفاده شد و تصاویر هر یک از آنها در بزرگنمایی‌های مختلف گرفته شد.

در نهایت جهت بررسی رفتار *In vitro* از سلول‌های فیبروبلاست L929 موش به منظور کشت بر روی پودر حاصله استفاده شد. سلول‌ها به مدت ۴ روز بر روی پودرها در پلیت‌هایی از جنس پلی‌استایرن کشت داده شدند. RPMI-1640+10% Fetal Bovine serum+50 mg/ml Streptomycin+50 IU/ml Penicillin انتخاب شد و از میکروسکوپ معکوس (Invert) با بزرگنمایی ۲۰۰ برابر برای مشاهده و بررسی سلول‌ها استفاده شد.

۳- نتایج و بحث

۱-۳- تغییرات فازی

تغییرات فازی پودرهای HA، FA و FHA کلسینه شده در دمای ۵۵۰°C توسط آنالیز XRD مورد بررسی قرار گرفتند (شکل ۲). در همه نمونه‌ها پیک‌های اصلی فاز آپاتیت مربوط به صفحات (۲۱۱)، (۰۰۲) و (۳۰۰) هستند، به وضوح دیده می‌شوند.

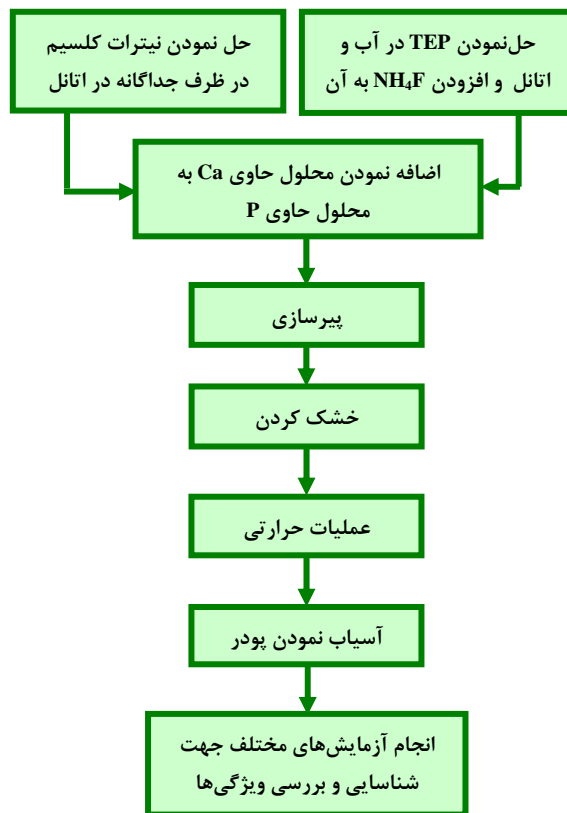
به دلیل تشابه زیاد ساختار کریستالوگرافی و ابعاد واحد شبکه، تمام پیک‌های HA و FA به طور دقیق قابل تمیز از یکدیگر نیستند [۱]. طیف‌های XRD نشان می‌دهند که در تمامی نمونه‌ها، علاوه بر فازهای فلورآپاتیت و هیدروکسی‌آپاتیت، اکسید کلسیم نیز تشکیل شده است. در جدول ۲ مقدار فازهای افلوئورآپاتیت و هیدروکسی‌آپاتیت نمونه‌ها محاسبه شده مقایسه شده‌اند. همان‌طور که مشخص است پیک‌های ویژه فلورآپاتیت با افزایش مقدار فلور افزایش یافته است.

اندازه بلورک‌های محاسبه شده (X_s) با استفاده از فرمول (معادله ۲) نیز در جدول ۲ آورده شده است. هر چند که این محاسبه تقریبی می‌باشد ولی همان‌طور که در این جدول آمده است، اندازه بلورک‌ها با افزایش میزان فلور به سمت فلورهیدروکسی‌آپاتیت و فلورآپاتیت تا اندازه‌های بزرگتر می‌شود.

که در این رابطه، X_s درجه بلوری پودر، $V_{112/300}$ شدت عمق بین پیک‌های پراش (۱۱۲) و (۳۰۰) و I_{300} شدت پیک (۳۰۰) است.

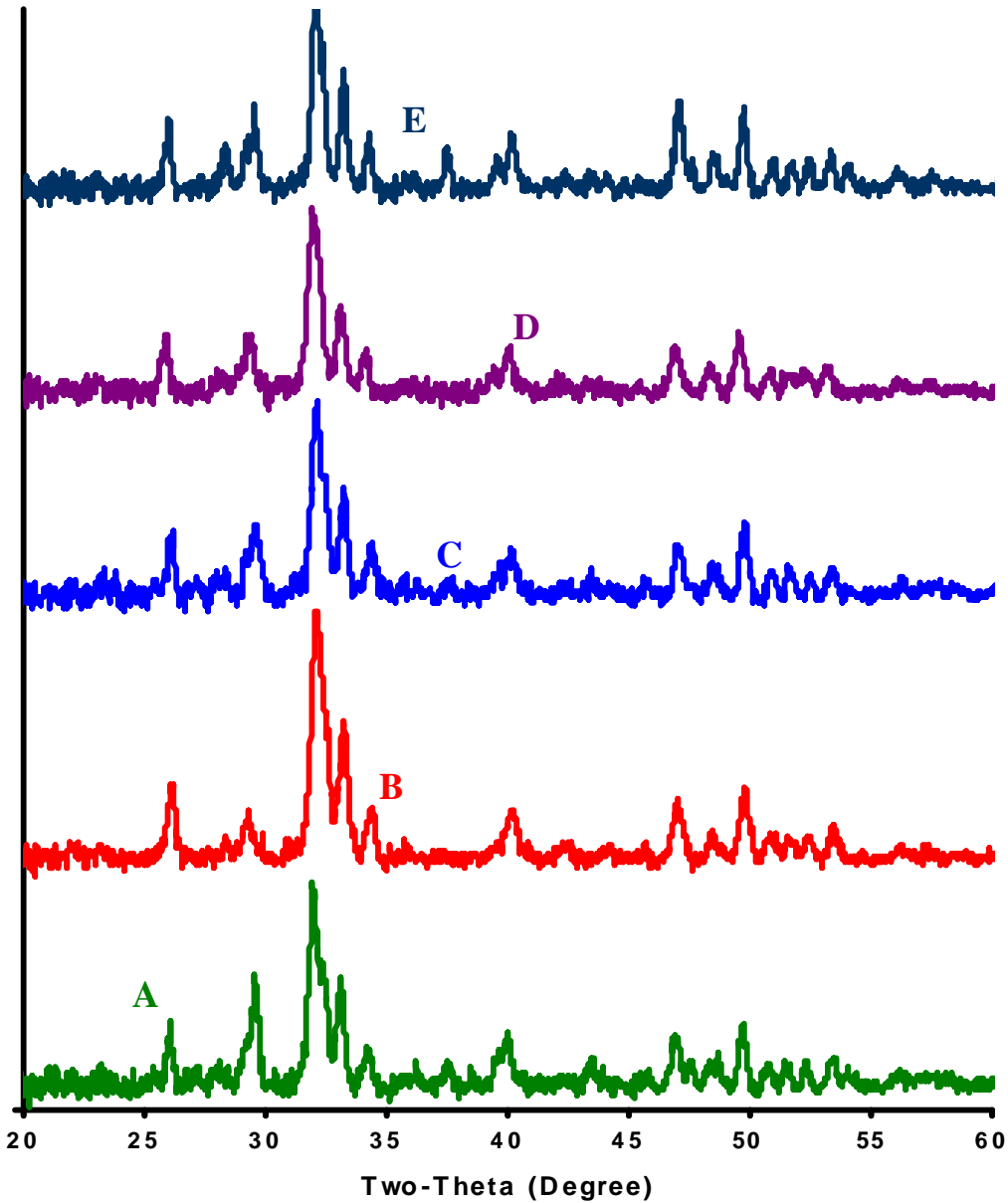
اندازه بلورک‌ها و ذرات آپاتیت با روش‌های زیر مطالعه شد:
- محاسبه تقریبی با استفاده از رابطه Scherrer (فرمول ۲) :

$$X_s = 0.9 \lambda / \text{FWHM} \cdot \text{Cos}\Theta \quad (2)$$



شکل ۱: دیاگرام تهیه پودر فلورهیدروکسی‌آپاتیت به روش سل-زل.

در این رابطه X_s اندازه بلورک در مقیاس نانومتر، K فاکتور شکل برابر با $0.9/\lambda$ طول موج اشعه ایکس مساوی 1540.51 نانومتر ، θ زاویه برآگ مربوط به پیک ناشی از پراش بر حسب درجه و FWHM نیز عرض پیک پراش در نصف ارتفاع مربوط به نمونه بر حسب رادیان می‌باشد.
- بررسی مستقیم با میکروسکوپ الکترونی عبوری (TEM, Philips, CM200FEG)
- سنجش اندازه ذرات پخش شده در شرایط عملکرد (zetasizer, Malvern Instrument Co, 3000 HAS)



شکل ۲: منحنی های پراش اشعه ایکس نمونه های (A .HA ، B .FA و C .HA-25FA ، D .HA-50FA و E .HA-75FA)

محور c در ساختار آپاتیتی که از مقدار یون فلور بیشتری برخوردار است در مقالات دیگری نیز گزارش شده است [۱۰، ۱۹، ۲۳].

درجه بلوری هر یک از نمونه ها نیز با استفاده از فرمول ۱ محاسبه شد که نتایج آن در جدول ۲ آورده شده است. همان طور که مشاهده می شود با افزایش میزان فلور و متعاقبا درصد فلور آپاتیت، درجه بلوری نیز افزایش

جانشینی OH^- با F^- باعث انقباض و فشردگی در اندازه محور a کریستالوگرافی شده ولی تغییر قابل توجهی را در اندازه محور c بهمراه ندارد [۸، ۲۰، ۲۱]. در تحقیقات مشابهی نیز نشان داده شده است که در نمونه FA خالص با نسبت فسفر به فلور برابر ۳، اندازه محور a از ۹/۴۲ آنگستروم در HA خالص به ۹/۳۷ آنگستروم کاهش می یابد [۲۱، ۲۲]. افزایش درجه کریستالی بویژه در جهت

تشکیل باند OH-F (پیوند غیر هیدروژنی مذکشی OH) است که نشان دهنده نفوذ یون F به داخل شبکه آپاتیت است. همچنین پیک 1635 cm^{-1} مربوط به مذکشی آب می‌باشد که با افزایش میزان فلوئور کوچکتر و ضعیفتر می‌شود. همچنین پیک مربوط به OH آپاتیت در 627 cm^{-1} در HA خالص به واضح مشخص است که به تدریج با افزایش F در ساختار آپاتیت در نمونه‌های FHA تقریباً محو شده و در FA کاملاً از بین رفته است. براساس نتایج تحقیقات Rodrigo [۲۵]، اختلاف اصلی بین هیدروکسی آپاتیت و فلوئور آپاتیت در محدوده $3650\text{--}3500\text{ cm}^{-1}$ می‌باشد و نیز، پیک 3570 cm^{-1} در نمونه HA خالص مربوط به باند v_1 OH هیدروکسی آپاتیت می‌باشد. مشاهده دقیق طیف نشان می‌دهد پیک‌هایی در حدود $1500\text{--}1400\text{ cm}^{-1}$ دیده می‌شوند که مربوط به گروه کربنات‌ها می‌باشند. به نظر می‌رسد که به سمت HA کمی عمق آن افزایش یافته است که می‌تواند ناشی از پیش‌ماده‌ها و یا جذب شیمیایی CO_2 محیط باشد.

می‌یابد و احتمالاً به این دلیل است که همسایگی نزدیکتر F⁻ (شکل متقارن) در مقایسه با OH⁻ (شکل نامتقارن و دو اتمی) به کلسیم میسر می‌شود [۲۴]. به طور تجربی نیز مشاهده شده است که حضور یون فلوئور در ساختار آپاتیت منجر به بلوری شدن ساختار آپاتیت خصوصاً در جهت محور c می‌شود [۱۰، ۱۱]. افزایش درجه بلوری منجر به پایداری بیشتر و حلایلت کمتر در محیط‌های بیولوژیکی می‌شود [۲۰].

جدول ۲: ترکیب فازی، اندازه بلورک‌ها و درجه بلوری نمونه‌ها.

نمونه	HA محاسباتی (%)	FA محاسباتی (%)	اندازه بلورک (nm)	درجه بلوری (%)
HA	۹۸/۲	-	۹/۷۲	۷۲/۱۴
HA-25FA	۷۴/۸	۲۴/۲	۱۲/۰۳	۷۲/۷۷
HA-50FA	۵۲	۴۸	۱۲/۵۴	۷۷/۶۰
HA-75FA	۲۶/۳	۷۳	۱۳/۷۷	۸۲/۱۷
FA	-	۹۸/۹	۱۶/۵۴	۹۲/۱۲

۳-۳- توزیع اندازه ذرات

تصاویر توزیع اندازه ذرات پودرهای آپاتیتی با نسبت‌های مختلف فلوئور در ابعاد نانومتری در شکل ۴ نمایش داده شده است. میانگین اندازه ذرات پودر با افزایش مقدار یون فلوئور از ۱۰۲ تا ۱۶۶ نانومتر افزایش نشان می‌دهد. با مقایسه تصاویر میکروسکوپی عبوری و اندازه ذرات حاصل از این روش، افزایش اندازه ذرات را می‌توان به تمایل بلورک‌ها به تشکیل خوشه‌های بزرگتر نسبت داد. از طرف دیگر باید اشاره نمود که با توجه به توزیع بسیار یکنواخت اندازه ذرات، چسبندگی آنها به یکدیگر یکسان بوده و در شرایط این آزمایش به طور تقریباً برابر از یکدیگر جدا شده‌اند.

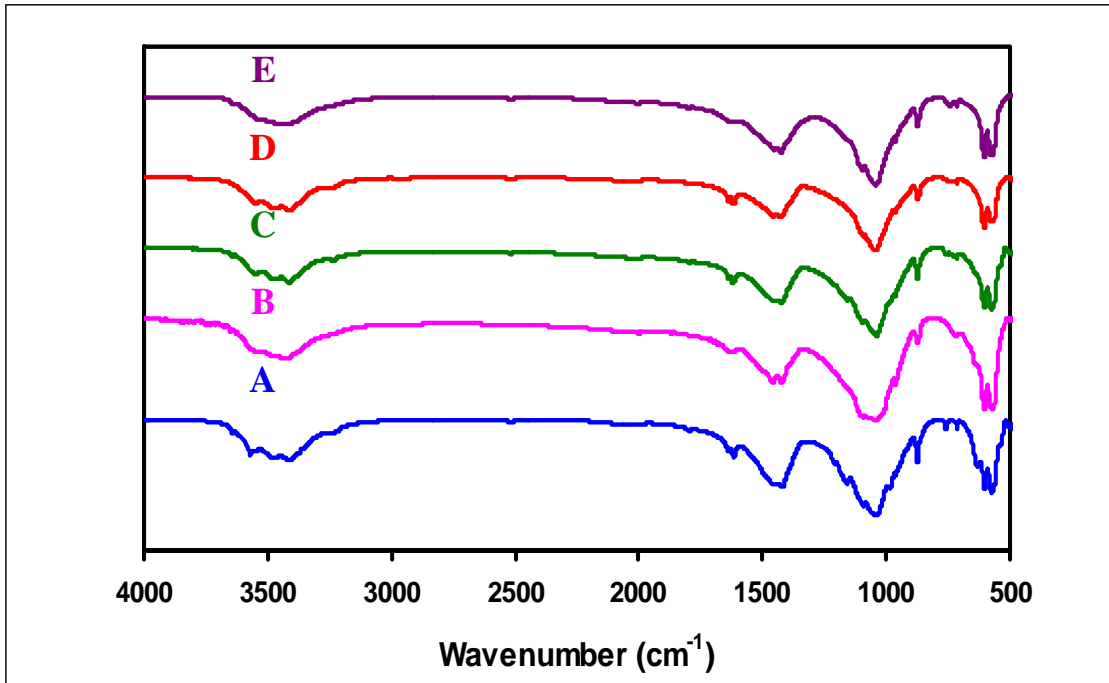
۴-۳- مورفولوژی پودر

۱-۴-۳- میکروسکوپ الکترونی روبشی (SEM)

به منظور بررسی مورفولوژی، از میکروسکوپ الکترونی روبشی (SEM) استفاده شد و هر یک از نمونه‌ها در بزرگنمایی‌های مختلف بررسی و با یکدیگر مقایسه شدند.

۲-۳- تغییرات ساختاری

تغییرات ساختاری نمونه‌ها، توسط FT-IR بررسی شد که در شکل ۳ مشاهده می‌شود. ساختار آپاتیت در همه نمونه‌ها با مدهای ارتعاشی P-O $560\text{--}610\text{ cm}^{-1}$ و $1000\text{--}1100\text{ cm}^{-1}$ مشاهده می‌شود. پیک شدید و پهن بین 1100 cm^{-1} و 900 cm^{-1} مربوط به PO_4^{3-} است. مدهای کششی و خمشی 572 ، 561 و 600 cm^{-1} به صورت پیک‌های شدیدی ظاهر شده‌اند. پیک 956 cm^{-1} را نیز می‌توان به ارتعاش v_1 PO_4^{3-} در فلوئور هیدروکسی آپاتیت و فلوئور آپاتیت نسبت داد [۲۵]. پیک پهن مشاهده شده در محدوده $3800\text{--}2600\text{ cm}^{-1}$ مربوط به مذکشی OH است. همان‌طور که می‌بینیم این پیک به تدریج با افزایش میزان فلوئور در ترکیب، اندازی کوچکتر و پهن‌تر می‌شود و همچنین کمی به سمت فرکانس‌های بالاتر جایه‌جا می‌شود. می‌توان گفت با افزایش میزان فلوئور، F جانشین OH در ساختار هیدروکسی آپاتیت شده و عامل این تغییر می‌باشد. پیک کوچک مابین $3536\text{--}3545\text{ cm}^{-1}$ در FA مربوط به

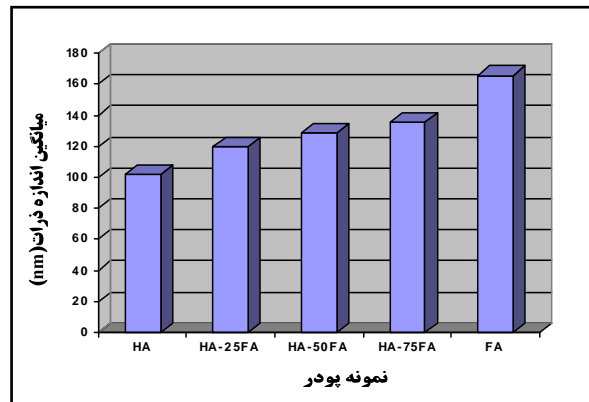


شکل ۳: FT-IR از نمونه پودرهای FA (E) و HA-75FA (D) HA-50FA (C) HA-25FA (B) HA (A)

۲-۴-۳- میکروسکوپ الکترونی عبوری (TEM)
شکل ۶A-E به ترتیب تصاویر میکروسکوپ الکترونی عبوری، الگوی پراش و EDXA نمونه پودرهای HA، HA-25FA، HA-50FA، HA-75FA و FA را نشان می‌دهد. بر اساس تصاویر میکروسکوپ الکترونی عبوری با افزایش یون فلوراید، درجه بلوری و اندازه بلورک‌ها تا اندازه‌ای افزایش داشته است. اندازه‌گیری مستقیم ابعاد ذرات در مشاهدات میکروسکوپ الکترونی عبوری، مقادیری در محدوده ۵۰ تا ۲۰ نانومتر را نشان می‌دهد. همچنین مشاهده می‌شود، در الگوی پراش پودرها با افزایش مقدار فلور شدت پراش نور از صفحات کریستالی بیشتر شده که نشان‌دهنده افزایش درجه بلوری پودرها می‌باشد. بر طبق مشاهدات، اندازه بلورک‌ها در نمونه‌های حاوی فلور اندکی بزرگتر از HA است. نتایج به دست آمده از آنالیز XRD و همچنین آنالیز zetasizer نیز این ادعا را تایید می‌کنند. بنابراین بر اساس نتایج حاصل از تصاویر میکروسکوپ الکترونی عبوری، اندازه بلورک‌ها و میزان درجه بلوری نمونه‌ها در مقایسه به صورت زیر است:

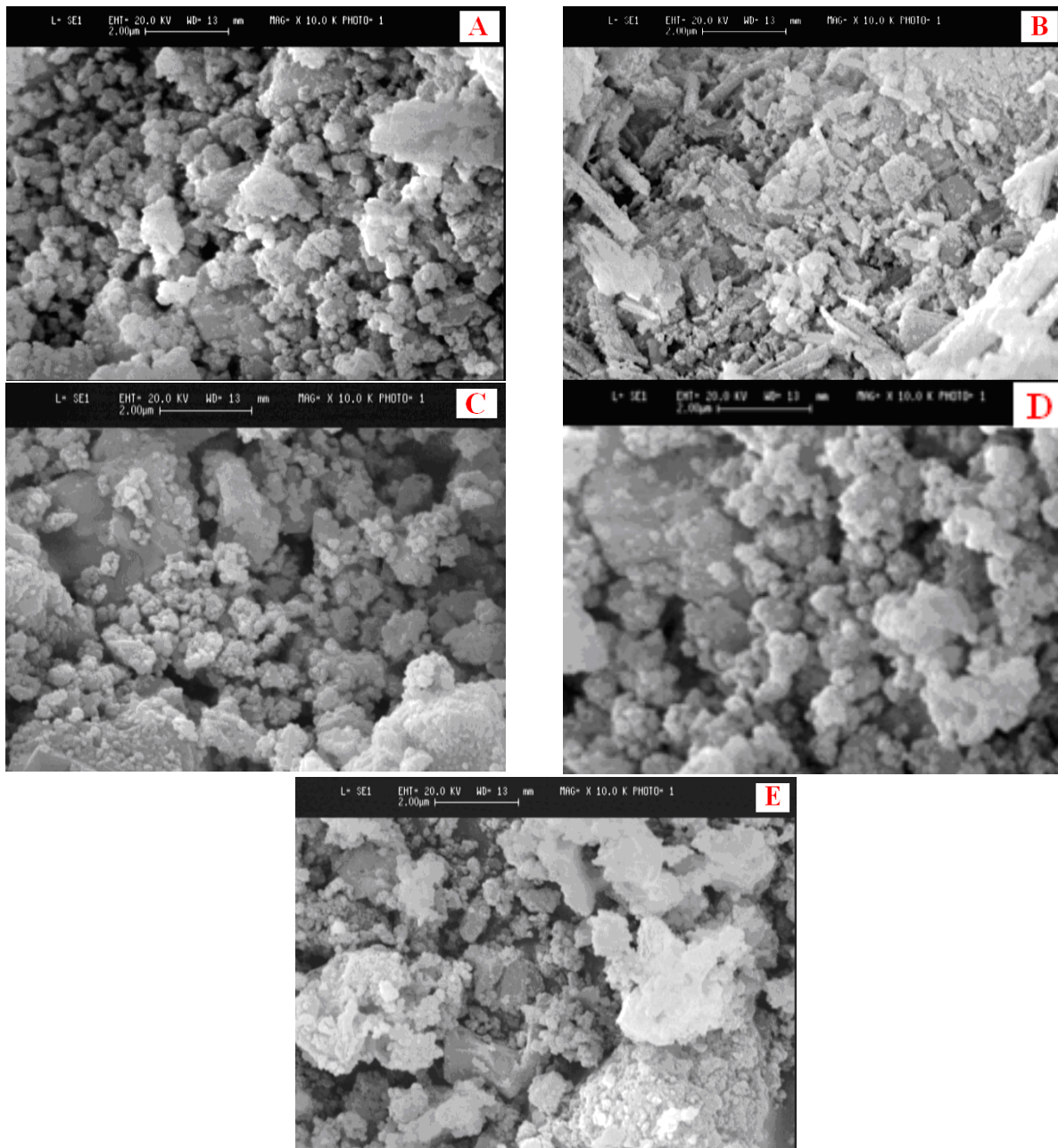
$$\text{HA} < \text{HA-25FA} < \text{HA-50FA} < \text{HA-75FA} < \text{FA}$$

شکل ۵ تصاویر SEM از پودرهای FA در بزرگنمایی ۱۰۰۰ برابر نشان می‌دهد. در این تصاویر مشاهده می‌شود که کریستال‌ها تشکیل شده‌اند. این کریستال‌ها به شکل کروی هستند که در بعضی نقاط به صورت آگلومره در آمده‌اند.



شکل ۴: نمودار میانگین اندازه ذرات پودر در نمونه‌های مختلف.

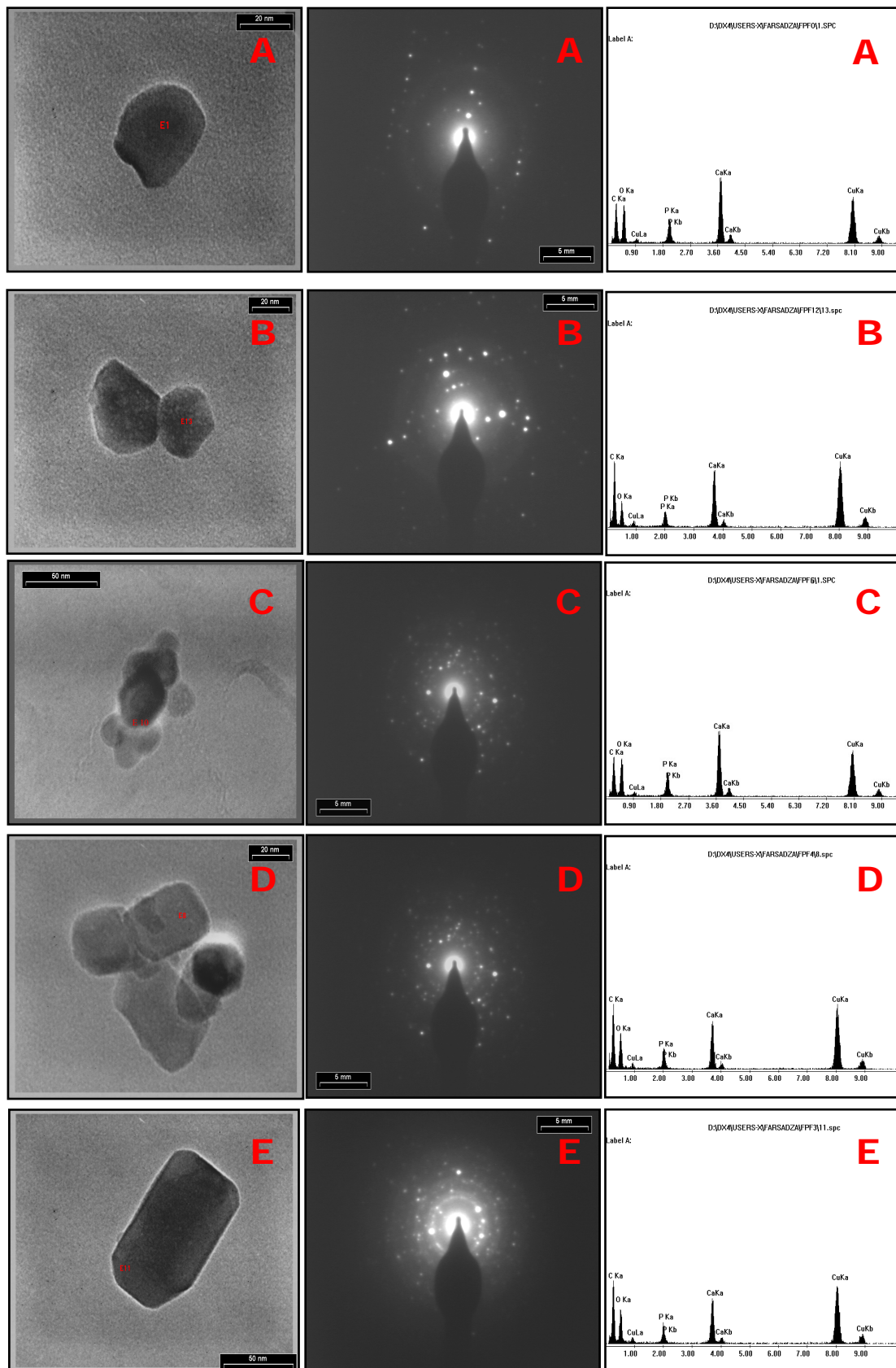
همانطور که مشاهده می‌شود دانه‌های کروی شکل ذرات آپاتیت در برخی نقاط آگلومره هستند که با افزایش میزان فلور و درصد فلور آپاتیت میزان آگلومره شدن پودر بیشتر شده است. قابل ذکر است که دانه‌های ریز و ذرات بزرگ متشكل از ذرات ریزتر در شرایط آزمایش زetasizer به خوبی از یکدیگر جدا شده‌اند.



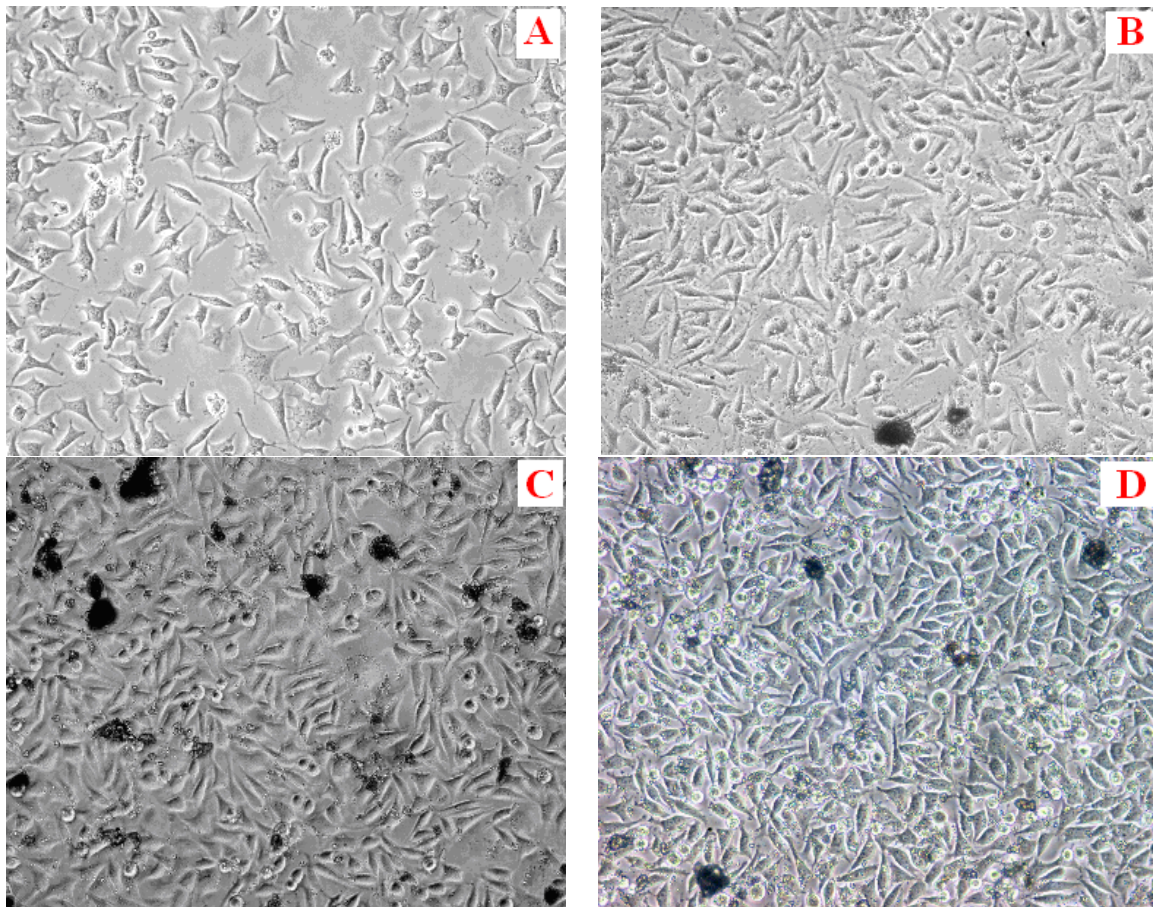
شکل ۵: تصاویر SEM از نمونه‌های (A) HA (B) HA-25FA (C) HA-50FA (D) HA-75FA (E) FA

استریل شدند. سپس، سلول‌های فیبروبلاست L929 موش ۴ روز روی پودر و در پلیت‌هایی از جنس پلی‌استایرن کشت داده و سپس بوسیله میکروسکوپ معکوس (Invert) بررسی شدند.

۵-۳ - Rftar In vitro
Rftar In vitro پودرها با نسبت‌های مختلف فلوئورآپاتیت و هیدروکسی‌آپاتیت مورد ارزیابی قرار گرفت. قبل از انجام آزمایش ابتدا تمام پودرها به مدت ۱۵ دقیقه در اتوکلاو



شکل ۶: به ترتیب از چپ به راست، تصاویر میکروسکوپ الکترونی عبوری، الگوی پراش و EDAX از نمونه پودرهای FA (E) و HA-75FA (D)، HA-50FA (C)، HA-25FA (B)، HA (A)



شکل ۷: تصاویر حاصل از کشت سلول‌های فیبروبلاست موش (L929) بر روی پودرهای سنتز شده در مقدار متفاوت فلوئور که ۱۵ دقیقه استریل شده‌اند: (A) نمونه شاهد، (B) FA (D) HA-50FA (C) HA.

رسید. نتایج XRD، دستیابی به فازهای هیدروکسی‌آپاتیت، فلوئورهیدروکسی‌آپاتیت و فلوئورآپاتیت را نشان می‌دهند.

اندازه بلورک‌ها و درجه بلوری پودرها با افزایش میزان جانشینی یون F^- در ساختار به جای OH^- ، افزایش پیدا می‌کند که نتایج حاصل از آزمایش XRD و TEM نیز این مطلب را تأیید می‌کنند. تصاویر میکروسکوپ الکترونی عبوری نشان می‌دهند، با افزایش یون فلوراید، درجه بلوری و اندازه بلورک‌ها تا اندازه‌ای افزایش داشته است و اندازه‌گیری مستقیم ابعاد بلورک‌ها در مشاهدات میکروسکوپ الکترونی عبوری، مقداری در محدوده ۲۰ تا ۵۰ نانومتر را نشان می‌دهد.

در آزمایش میکروسکوپ الکترونی روبشی مشاهده شد که با افزایش میزان فلوئور و درصد فلوئورآپاتیت، اندازه دانه‌ها تا اندازه‌ای بزرگتر شده و همچنین میزان آگلومره شدن پودر نیز بیشتر شده است.

به منظور تهیه نمونه شاهد نیز، از کشت سلول‌ها در محیط کشت بدون حضور پودر استفاده شد. نتایج آزمایش‌ها نشان می‌دهند (شکل ۷) که رشد سلول‌های فیبروبلاست روی تمام نمونه‌ها نسبت به نمونه شاهد از رشد مناسبی برخوردار بوده است و هر چه بر میزان فلوئورآپاتیت افزوده شده، تعداد سلول‌ها در محیط کشت زیادتر شده است که نشان‌دهنده تاثیر مثبت فلوئور بر زیست‌سازگاری پودر فلوئورهیدروکسی‌آپاتیت و فلوئورآپاتیت می‌باشد.

۴- نتیجه‌گیری

پودرهای هیدروکسی‌آپاتیت، فلوئورهیدروکسی‌آپاتیت و فلوئورآپاتیت به طور موفقیت‌آمیزی توسط روش سل-ژل و با استفاده از مقدار مختلف یون فلوئور به دست آمدند. جانشینی یون F^- با OH^- توسط نتایج FT-IR در دمای ۵۵ درجه سانتیگراد برای نمونه‌های مختلف به اثبات

- American Ceramic Society, **85**, 2002, 1634.
- [7] H.W. Kim, L.H. Li, Y.H. Koh, J.C. Knowles, H.E. Kim, *Journal of the American Ceramic Society*, **87**, 2004, 1939.
- [8] E.C. Moreno, M. Kresak, R.T. Zahradnik, *Nature* (London), **247**, 1974, 64.
- [9] H.W. Kim, Y.M. Kong, Y.H. Koh, H.E. Kim, H.M. Kim, J.S. Ko, *Journal of the American Ceramic Society*, **86**, 2003, 2019.
- [10] M. Okazaki, Y. Miake, H. Tohda, T. Yanagisawa, J. Takahashi, *Biomaterials*, **19**, 1998, 611.
- [11] L.J. Joa, S.M. Best, J.C. Knowles, I. Rehman, J.D. Santos, N. Bonfield, *Journal of Materials Science-Materials in Medicine*, **8**, 1997, 185.
- [12] J.A. Schwarz, I.C. Contescu, Karo Putyera, “Dekker Encyclopedia of nanoscience and Nanotechnology”, **3**, 2004, 1797.
- [13] S. Overgaard, M. Lind, H. Grundvig, C. Biinger, K. Soballe, *Clinical Orthopaedics and Related Research*, **336**, 1997, 286.
- [14] A. Slosarczyk, E. Stobierska, Z. Paszkiewicz, M. Gawlick, *Journal of the American Ceramic Society*, **79**, 1996, 2539.
- [15] M. Yoshimura, H. Suda, K. Okamoto, K. Ioku, *Journal of Materials Science*, **29**, 1994, 3399.
- [16] W. Weng, J.L. Baptista, *Journal of Materials Science-Materials in Medicine*, **9**, 1998, 159.
- [17] D.M. Liu, T. Troczynski, W.J. Tseng, *Biomaterials*, **22**, 2001, 1721.
- [18] E. Landi, A. Tampieri, G. Celotti, S. Sprio, *Journal of the European Ceramic Society*, **20**, 2000, 2377.
- [19] R. Jenkins, R.L. Snyder, “Introduction to X-ray Powder Diffractometry”, John Wiley & Sons, New York, 1996.
- [20] R.Z. LeGeros, J.P. Legeros, “An introduction to bioceramics”, New York University College of Dentistry, chapter 9, Pages 139-145.
- [21] D.K. Smith, “Calcium Phosphate Apatites in Nature”, edited by P.W. Brown, B. Constantz, “Hydroxyapatite and Related Materials”, CRC Press, London, 1994.
- [22] J.C. Elliott, “Structure and Chemistry of the Apatites and Other Calcium Orthophosphates”, Elsevier, Amsterdam, 1994.
- [23] E. Landi, A. Tampieri, G. Celotti, S. Sprio, *Journal of the European Ceramic Society*, **20**, 2000, 2377.
- [24] M. Luis, L. Rodriguez, N.H. Judy, K.A. Gross, *Journal of Physical Chemistry B*, **107**, 2003, 8316.
- [25] C. Prageeth Rodrigo, Master of Science Degree in Chemistry Department of Chemistry College of Sciences, University of Nevada, Las Vegas, 2005.

بر اساس نتایج آزمایش کشت سلولی، سلول‌های فیبروبلاست بر روی تمام نمونه پودرهای بدست آمده با هر میزان فلوئور در ترکیب، رشد مناسبی داشته و افزایش مقدار فلوئور آپاتیت تاثیر مثبت بر رشد سلول‌ها در محیط کشت سلولی داشته است.

سپاسگزاری

بدینوسیله نویسنده‌گان این تحقیق از همکاری‌های ارزشمند متخصصین و مسئولین پژوهشگاه مواد و انرژی، پژوهشگاه ملی مهندسی ژنتیک و زیست‌فناوری، سازمان زمین‌شناسی و اکتشافات معدنی کشور، آزمایشگاه تخصصی بیومتریال دانشکده مهندسی پزشکی دانشگاه آزاد اسلامی واحد علوم و تحقیقات و همچنین از حمایت‌های ستاد ویژه توسعه فناوری نانو کمال تشكر و قدردانی را ابراز می‌دارند.

مراجع

- [1] L.L. Hench, E.C. Ethridge, “Biomaterials: An Interfacial Approach”, Academic Press, New York, 1982.
- [2] R.Z. Legeros, *Progress in Crystal Growth and Characterization of Materials*, **4**, 1981, 1.
- [3] H.W. Denissen, W. Kalk, H.M. Nieuport, C. Mangano, J.C. Maltha, *International Journal of Prosthodontics*, **4**, 1991, 432.
- [4] R.Z. Legeros, L.M. Silverstone, G. Daculsi, L.M. Kerebel, *Journal of Dental Research*, **62**, 1985, 138.
- [5] T. Aoba, *Critical Reviews in Oral Biology & Midicine*, **8**, 1997, 136.
- [6] H.W. Kim, Y.H. Koh, B.H. Yoon, H.E. Kim, *Journal of the*

